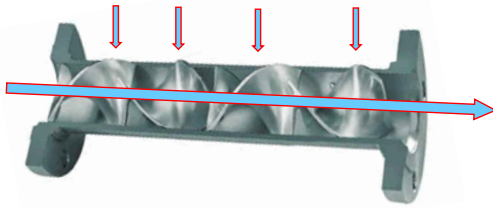


## Statična mešala

Uporablja se jih predvsem pri kontinuiranih procesih, mešalni elementi so lahko vgrajeni v cevovode, kamor se dodaja še druge komponente.



## Laminarno mešanje

Tok snovi se pri prehodu skozi element usmeri in na vходу v naslednji element deli. Pri prehodu skozi naslednji element se usmeri v nasprotno smer in spet deli... Tako je doseženo pomešanje z minimalnim tlačnimi izgubami.

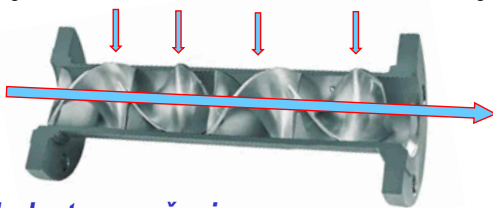


RRP III.sem.

1

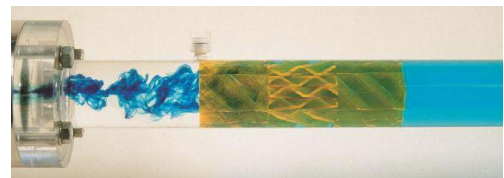
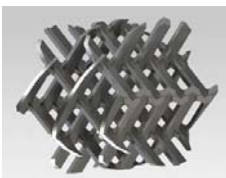
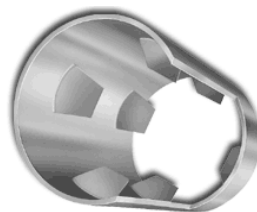
## Statična mešala

Uporablja se jih predvsem pri kontinuiranih procesih, mešalni elementi so lahko vgrajeni v cevovode, kamor se dodaja še druge komponente.



## Turbulentno mešanje

Statična mešala ustvarjajo intenzivno mešanje s povzročanjem intenzivne cirkulacije toka, ki se vzpostavi s prehodom elementa. V naslednjem se cirkulacija zasuka zopet v prvotno smer.



RRP III.sem.

2

## Statična mešala

Uporablja se jih predvsem pri kontinuiranih procesih, mešalni elementi so lahko vgrajeni v cevovode, kamor se dodaja še druge komponente.

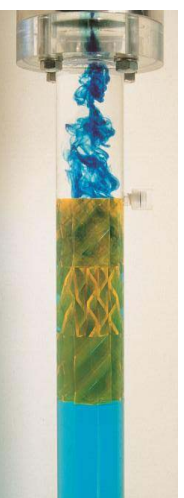
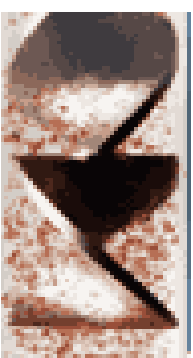


### Emulgiranje

Statično mešalo dispergira medsebojno netopljive kapljevine in proizvaja ozek razred velikosti kapljic.



Razmerje viskoznosti  
do 1 : 50000



3

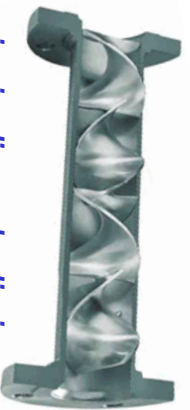
RRP III, sem.

Mešanje

A. Bombač – Mehanska procesna tehnika

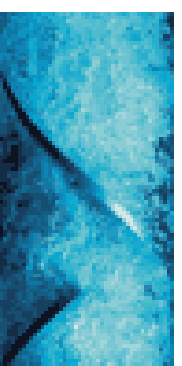
## Statična mešala

Uporablja se jih predvsem pri kontinuiranih procesih, mešalni elementi so lahko vgrajeni v cevovode, kamor se dodaja še druge komponente.



### Dispergiranje plinov v kapljevine

Pri turbulentnem režimu kapljevine se lahko primeša pline. Tako je dosežena maksimalna absorpcija oz. prenos snovi glede na energijski vnos.



4

RRP III, sem.





**Table 7-4** Rough Guidelines for Applications in the Laminar and Turbulent Flow Regimes<sup>a</sup>

Flow Regime	Static Mixer Design									
	KMS	KMX	HEV	SMV	SMX	SMXL	SMR	KVM	SMF	ISG
Laminar										
Mixing/blending	c	a			c	c	c	a	a	a
High–low viscosity		a			c	c	a	a	a	a
Dispersion	a	a			c	c	a	a	a	a
Heat transfer	c	c			b	c	c	c		
Plug flow	b				c	b	b	c*		
Turbulent										
Mixing/blending										
High turbulence	a		c	c <sup>†</sup>	c	a	a	c		a
Low turbulence	c				c	a	a			a
Dispersion										
Liquid–liquid	c	c			c	a	a	c*	a	a
Gas in liquid	c	c			c	a	a	a*	a	a
Liquid in gas	a				c	a	a			a
Fluidized beds								c <sup>‡</sup>		

<sup>a</sup> a. Applicable; b. typically applied; c. best design choice; \*, Where temperature control is required; †, especially for very large diameters and nonround cross-sections; ‡, gas fluidized solid particles; specialized design (Koch-type KFBE).

**Figure 7-16** Static mixer design options. From left: vortex mixer (type KVM), corrugated plate (type SMV), wall-mounted vanes (type SMF), cross-bar (type SMX), helical twist (type KHT), cross-bar (type SMXL). (Courtesy of Koch-Glitsch, LP.)**Figure 7-16** Static mixer design options. From left: vortex mixer (type KVM), corrugated plate (type SMV), wall-mounted vanes (type SMF), cross-bar (type SMX), helical twist (type KHT), cross-bar (type SMXL). (Courtesy of Koch-Glitsch, LP.)

Device	$K_T$	KiL
Empty pipe	1	—
KMS	6.9	0.87
SMX	37.5	0.63
SMXL	7.8	0.85
SMF	5.6	0.83
SMR	46.9	0.81

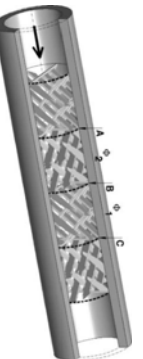
Source: Streiff et al. (1999).

**Table 7-6** Turbulent Blending and Pressure Drop Parameters for Motionless Mixers

Device	$Ne^a$	$K_T$	KiL
Empty pipe	0.01	1	0.95
KMS	1.5	150	0.50
KVM	0.24	24	0.42
SMX	5	500	0.46
SMXL	1	100	0.87
SMV	1–2	100–200	0.21–0.46
SMF	1.3	130	0.40

<sup>a</sup>  $Ne$  is the Newton number, equivalent to  $2\tau$ , twice the Fanning friction factor.

Source: Streiff et al. (1999).



## Osnove dimenzioniranja statičnega mešala

### a) Tokovni režim

Določitev tokovnega režima na osnovi  $Re$  števila :

$$Re = \frac{\rho D v}{\mu}$$

### b) Tlačne izgube

#### ♦ Laminarno področje; $Re < 2100$

ekvivalentna tlačna izguba za statično mešalo:

$$\Delta p_{sm} = K_L \Delta p_c$$

$$\Delta p_c = 4f_L \frac{L}{D} \rho \frac{v^2}{2}$$

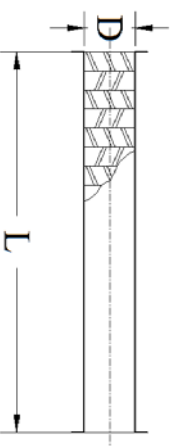
$$f_L = \frac{16}{Re}$$

♦ **Turbulentno področje;  $4000 < Re < 100000$ :**  
ekvivalentni tlačna razlika za cev:

$$\Delta p_{sm} = K_T \Delta p_c$$

$$\Delta p_c = 4f_T \frac{L}{D} \rho \frac{v^2}{2}$$

$$f_T = \frac{0,079}{Re^{0,25}}$$



$K_L, K_T$  ... koeficient vrste mešala, Tab. 7-5 in 7-6  
 $D$  ... notranji premer statičnega mešala [ ]  
 $L$  ... dolžina mešala [ ]  
 $f_L, f_T$  ... Fanningov faktor trenja [ ]  
 $v$  ... hitrost [ ]  
 $\rho$  ... gostota kapljevine [ ]  
 $\mu$  ... dinamična viskoznost [ ]  
 $\Delta p_c$  ... tlačne izguba za prazno cev

RRP III, sem. Edward L. Paul, Victor Alamo-Oberg, Suzanne M. Kresta Handbook of Industrial Mixing: Science and Practice, JW&S, Hoboken, New Jersey, 2004

9

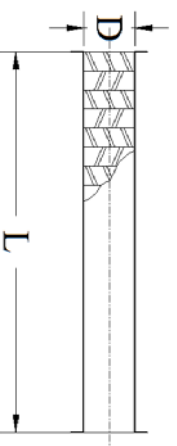
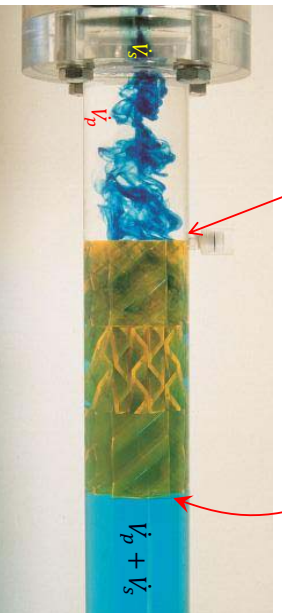
### c) Stopnja pomešanja

$$CoV_T = K_1^{L/D}$$

Določitev začetne stopnje pomešanja (na vstopu v statično mešalo)

$$CoV_0 = \left( \frac{1 - C_v}{C_v} \right)^{0,5}$$

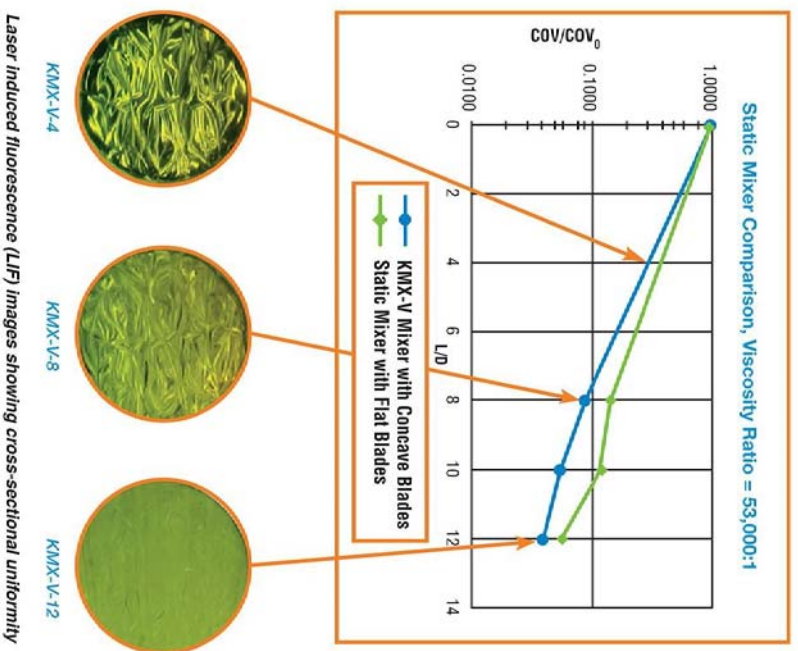
$$C_v = \frac{\dot{V}_S}{\dot{V}_p + \dot{V}_S}$$



$K_{TL}, K_{TR}$  ... koeficient vrste mešala, Tab. 7-6 in 7-6  
 $D$  ... notranji premer statičnega mešala [ ]  
 $L$  ... dolžina mešala [ ]  
 $CoV_0$  ... začetna stopnja pomešanja  
 $C_v$  ... začetno volumsko razmerje  
 $\dot{V}_p, \dot{V}_S$  ... primarni in sekundarni volumski tok

RRP III, sem. Edward L. Paul, Victor Alamo-Oberg, Suzanne M. Kresta Handbook of Industrial Mixing: Science and Practice, JW&S, Hoboken, New Jersey, 2004

10



Laser Induced Fluorescence (LIF) Images showing cross-sectional uniformity